

## 有限要素法解析による斜面上での有限振幅波の変形機構について

熊本大学 工学部 正員 渡川 清  
 正員 田淵 韶修  
 学生員 ○山崎 紀久夫

1.はじめに 傾斜面上における波の変形および碎波現象は、非線形性の強い現象であり、この為、流速分布等内部特性に関する研究も少なく未だ不明な点が多い。著者らは、有限要素法(F.E.M.)を用いた解析を行い、斜面を進上し碎波変形する波動場の特性について検討を加えてきているが、本報告は、一定勾配の斜面上に入射する波を(1)Pistonにより逆波された波(2)微小振幅波(3)Stokesの3次近似波(4)Hyperbolic波の4種を取り上げ、これらの変形をF.E.M.解析によって求め、入射波特性と変形の内部特性についての検討を加えたものである。

2.一定水深上での造波に関する検討 F.E.M.による速度分布

テンショル中を有する非定常非線形は波動の解析方法は、既に文献1),2)で示しており、ここでは省略するが、波の入射条件は境界における勾配で規定される。従って、入射境界において流速 $v = 0$ を与える事によって任意の波を発生させる事が可能であって、上記(1)~(4)の各種の入射波に対してもこの方法を用い解析を行った。まず、一定水深上で波を発生させる場合、入射条件( $\lambda$ :波長,  $H$ :波高)によって2次波峯(soliton)が発生する事が知られている。図-1は、Piston造波および正弦波入射によって発生するsoliton数をF.E.M.解析によって求めたものである。このような一定水深上でのsolitonの発生に関してはGalvinや土屋らの研究はあるが、図中の入は $\lambda = 1/6L_0$  ( $L_0 = HL^2/\lambda^2$ )である、本計算結果は土屋らと同様、ほぼ入の値によって規定される事が示される。図-2は、図-1中のCase(1)の場合(周期2.5 sec, 水深35cm, ピストン移動振幅17.4 cm, 発生波高8.8 cm,  $H/L_0 = 0.00831$ )について、波の発生状況をF.E.M.解析により図示したもので、(a)図Piston造波、(b)図Hyperbolic波入射による結果である。また図示していないが微小振幅波(正弦波)の入射は(a)図に、Stokes-3rd.波入射は(b)図に類似した波形を得られ、(a)図に見られる2次波峯は(b)図では見られない。即ち、solitonの発生は入射波の特性(入射波形、内部流速)によって異なり造波によるsolitonの発生はPistonおよび入射波の正弦的運動に起因する事が知れる。図-3は、図-2の場合と同様のCase(1)に対して、(a)図Stokes-3rd.、(b)図Hyperbolic波の入射による発生波の時間波形および峯と谷の位相での水平水粒子速度の鉛直分布である。図より、各理論に対応した波が発生されている事がわかる。

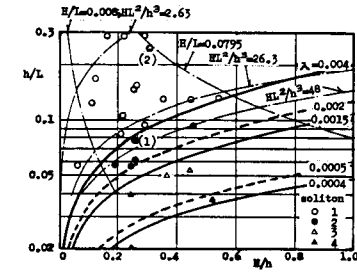
3.傾斜面上での進上波の変形特性 傾斜面上における波の変形は、冲波波形勾配 $H_0/L_0$ と斜面勾配 $(z+b)/b$ および入射波波形等に

図-1 一定水深上でのsolitonの発生数 (Piston造波)

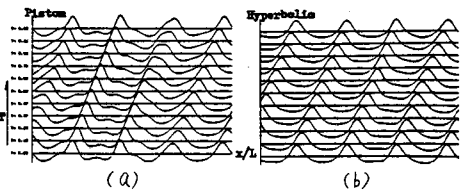


図-2 一定水深での発生波波形

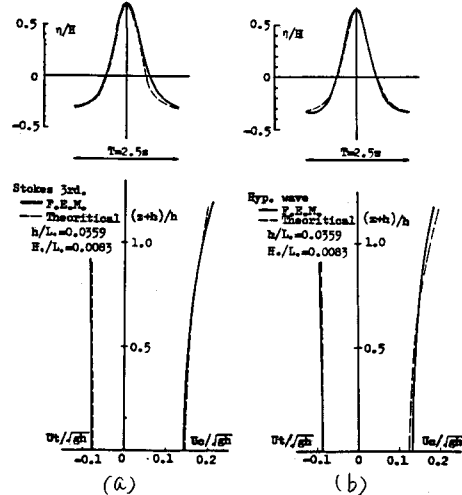


図-3 一定水深での波形および水平水粒子速度分布

よって変化すると考えられるが、入射する波の波形変化を考慮した報告は見受けられないようである。ここでは、斜面勾配  $i = 1/20$ 、入射波は前述した(1)~(4)の各波について、各々 Case (1) ( $H_0/L_0 = 0.0083$ )、Case (2) ( $H_0/L_0 = 0.0735$ )に対するF.E.M.解析を行った結果について報告する。図-4は、Case (1)の冲浪波形勾配に対して(a)図Piston造波、(b)図Hyperbolic波の入射の場合の空間波形の時間変動を図示したものである。入射波は図-2と同様に造波時の波形の特徴を示し遡上するが、さらに水深が浅くなり波の前傾化が激しくなると両者には顕著な差異は見られないのである。図-5は、Case (2)の場合、(a)衝撃振幅波、(b)Hyperbolic波の入射による碎波点近傍と思われる点 ( $H_0/L_0 = 0.0735$ )での水面波形および水平水粒子速度の峯および谷の位相での鉛直分布 ( $U_x/\sqrt{gh}$ ,  $U_y/\sqrt{gh}$ )を示したもので各図中の破線は、計算点でのH.T.R.に対応した理論曲線である。この碎波形態はいわゆる spilling 型であるが、碎波点近くまで比較的前後対称な波形のまま遡上し、流速分布は微小振幅理論との対応が最も良いが碎波点近傍では各理論ともF.E.M.解析結果より過大となり、(b)図の場合では峯の位相での差異が大きい。図-6は、(a)Case (1)、(b)Case (2)の各種入射方式によるF.E.M.解析結果であり、碎波点近傍と考えられる水深での図-5と同様の図である。図中の○印は、Piston造波時のL.D.V.を用いた実験結果である。いずれの場合も、入射方式に影響されず同様の分布となる結果が示されている。図-7は、Case (1)(2)に対するHyperbolic波の碎波点近傍での水粒子エネルギー ( $-U_x^2/\sqrt{gh}$ )/a<sub>0</sub> (a<sub>0</sub>は冲浪振幅)分布を図化したものであるが、spilling (Case (2))、plunging (Case (1))型の碎波に対応してエネルギーの集中度の相違が計算されている事わかる。

**4. おわりに**  $i = 1/20$  の場合、入射方式にはあまり影響なく変形碎波する結果が得られたが、さらに斜面勾配の影響を明確にするため、他の斜面勾配の場合等、多くのCaseについて計算を進める必要があり現在解析検討中である。

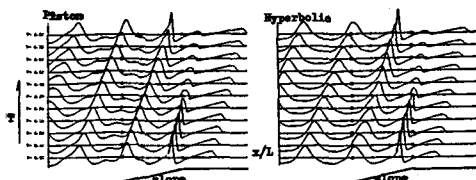
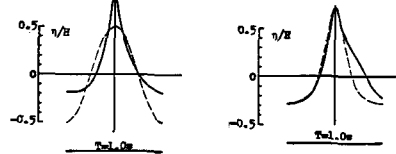
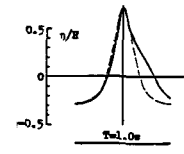


図-4 斜面上での波形変化 (Case (1))



(a) Piston wave  
— P.E.M. — Theoretical



(b) Hyperbolic wave  
— P.E.M. — Theoretical  
 $U_x/\sqrt{gh}$

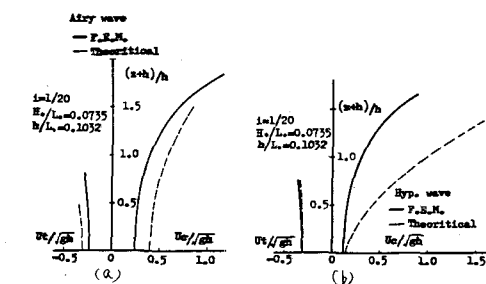
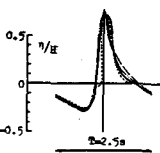
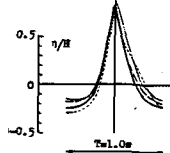


図-5 斜面上での波形および水平水粒子速度分布



(a)



(b)

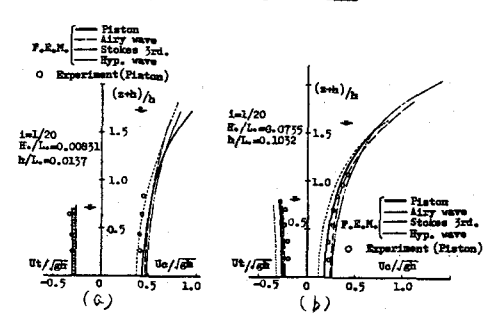
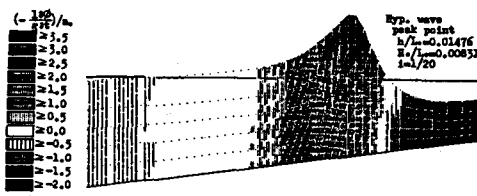
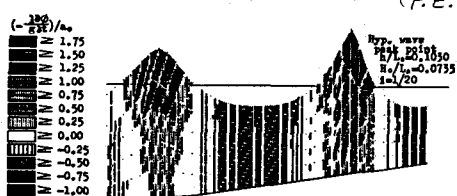


図-6 斜面上での波形および水平水粒子速度分布 (F.E.M.)



(a)

図-7 水粒子エネルギー分布



(b)

- 参考文献) 1) 清川清・田嶋義博：有限要素による変形碎波解析について。2) 清川清・岩垣桂一・中里政博：有限要素法による斜面上の波の碎波変形と内部挙動構造 第25回 海洋論文集 PP. 28~32, 1978.  
3) Golvin, C. J.: Finite-amplitude, shallow water-waves of periodically recurring form, Proc. Symp. on Long Waves, 1970, p. 32.  
4) 土屋義人・宇田恵志：浅海における3波の波形－特にSolitonの発生について－ 第20回 海洋論文集 PP. 397~401, 1973.